

ПЕРИОДИЧЕСКАЯ ЭЛЕКТРОСТАТИЧЕСКАЯ ФОКУСИРОВКА  
ЛЕНТОЧНОГО ПУЧКА

*B. A. Сыровой*

(Москва)

Получение решения уравнений пучка, удовлетворяющего некоторым условиям на эмиттере, составляет, как известно, лишь часть задачи. Всякое такое решение определяет течение в неограниченной области, в то время как действительные пучки имеют конечные размеры. Для реализации течения, описываемого полученным решением, необходимо рассмотреть вопрос о системе фокусирующих электродов, обеспечивающих существование пучка данной конфигурации. Решение этого вопроса сводится к задаче об аналитическом продолжении потенциала, заданного на границе пучка вместе со своей нормальной производной, в область, свободную от зарядов, т. е. к задаче Коши для уравнения Лапласа. Впервые применительно к проблеме формирования ленточного пучка при эмиссии, ограниченной пространственным зарядом, она была поставлена и решена в [1]. В работах [2–4] идеи [1] обобщены на случай плоских криволинейных траекторий. В [5] рассмотрены математические основы метода электростатической фокусировки (проблемы существования, единственности и корректности). Для ряда течений решение получено в терминах интегралов по контуру, достаточно трудно поддающихся оценке [6]. В работе [7] приводится аналитическое решение задачи о формировании произвольных осесимметричных пучков. Переход в комплексную область и преобразование уравнения Лапласа к гиперболическому виду позволили дать решение в более удобной для получения конечных результатов форме. Известно лишь несколько аналитических решений в элементарных функциях и в замкнутой форме задачи о фокусировке стационарных потоков [1, 4, 8–15] (плоский диод [1, 13, 15], плоский магнетрон [4, 8, 9], гиперболический [10] и эллиптический [11, 12] пучки, течение по окружностям и спиралям в некоторых неоднородных магнитных полях [14]). В [16] формирующие электроды определены для нескольких нестационарных пучков.

В работе [17] исследованы режимы, которые могут иметь место для моноэнергетических нерелятивистских потоков одноименно заряженных частиц при течении между параллельными плоскостями. В [15] обсуждался вопрос о фокусировке ленточного пучка при произвольных условиях на эмиттере и монотонном изменении потенциала. Ниже рассматривается случай (случай С — по терминологии [14]), когда потенциал между электродами имеет экстремум (минимум для электронов) (§ 1). Точное решение сравнивается с приближенным, приведенным в [18]. В § 2 показано, как результаты предыдущего параграфа могут быть использованы для получения точного аналитического решения задачи о периодической фокусировке ленточного пучка [19, 20]. Дано сравнение результатов § 2 и работ [20, 21], в которых приведено приближенное решение этой задачи.

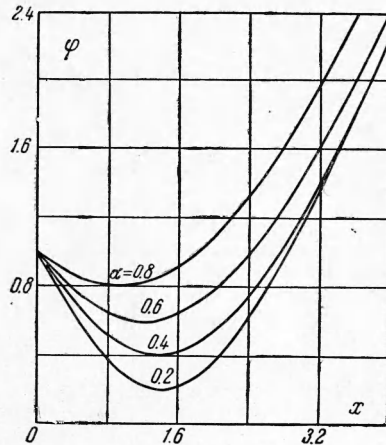
**§ 1.** Рассмотрим случай, когда потенциал между электродами имеет экстремум. Будем считать, что  $\varphi_1$  — потенциал эмиттера  $x = 0$  и что скорость на нем равна  $(-2\eta\varphi_1)^{1/2}$ . Переходим к безразмерным переменным  $x^o, \varphi^o$ , измеряя длины вдоль оси  $x$  в единицах  $a$  и относя потенциалы к  $\varphi_1$

$$x = ax^o, \quad \varphi = \varphi_1 \varphi^o, \quad a = (\sqrt{2|\eta|} / 9\pi |j_0|)^{1/2} \varphi_1^{3/4}$$

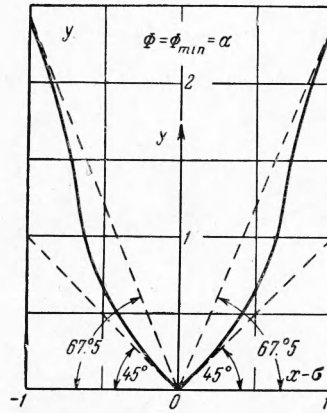
Под  $a$  понимается расстояние, при котором (в соответствии с решением Чайлда — Лэнгмюра) разность потенциалов  $\delta\varphi = \varphi_1$  обеспечивает ток плотности  $j_0$ ;  $\eta$  — удельный заряд частицы. Решение уравнений пучка в этом случае в безразмерных переменных (символ безразмерной величины опущен) определяется формулой [17]

$$x = \mp (\varphi^{1/2} + 2\alpha^{1/2}) \sqrt{\varphi^{1/2} - \alpha^{1/2}} + (1 + 2\alpha^{1/2}) \sqrt{1 - \alpha^{1/2}} \quad (1.1)$$

При знаке минус выражение (1.1) определяет решение в интервале  $\sigma \geq \varphi \geq a$ ,  $0 \leq x \leq \sigma$ , знак плюс имеет место для  $\varphi \geq a$ ,  $x \geq \sigma$ ; здесь  $a = \varphi(\sigma) = \varphi_{\min}$ . Распределение потенциала  $\varphi = \varphi(x)$  типа С при различных значениях  $\alpha$  показано на фиг. 1.



Фиг. 1



Фиг. 2

Будем считать, что заряды занимают область  $x \geq 0$ ,  $y \leq 0$ . Для того чтобы получить уравнения фокусирующих электродов, заменим  $x$  в (1.1) на  $z = x + iy$ , а  $\varphi$  представим в виде  $\varphi = \Phi + i\Psi$ . Отделяя затем действительную и мнимую части, приходим к выражениям вида

$$x = x(\Phi, \Psi; \alpha), \quad y = y(\Phi, \Psi; \alpha)$$

Полагая  $\Phi = \Phi_0$ , получим параметрическое уравнение формирующегося электрода с потенциалом  $\Phi = \Phi_0$

$$x = x(\Phi_0, \Psi; \alpha), \quad y = y(\Phi_0, \Psi; \alpha)$$

Для течения, описываемого формулами (1.1), эквипотенциальные поверхности в области, внешней к пучку, определяются уравнениями

$$\begin{aligned} x - (1 + 2\alpha^{1/2})\sqrt{1 - \alpha^{1/2}} &= x - \sigma = \\ &= +2^{-1/2} \left[ (\sqrt{1/2(r + \Phi)} + 2\alpha^{1/2})\sqrt{R} + \sqrt{1/2(r + \Phi)} - \alpha^{1/2} - \right. \\ &\quad \left. - \sqrt{1/2(r - \Phi)}\sqrt{R} - \sqrt{1/2(r + \Phi)} + \alpha^{1/2} \right] \\ y &= 2^{-1/2} \left[ (\sqrt{1/2(r + \Phi)} + 2\alpha^{1/2})\sqrt{R} - \sqrt{1/2(r + \Phi)} + \alpha^{1/2} + \right. \\ &\quad \left. + \sqrt{1/2(r - \Phi)}\sqrt{R} + \sqrt{1/2(r + \Phi)} - \alpha^{1/2} \right] \end{aligned} \quad (1.2)$$

$$r = \sqrt{\Phi^2 + \Psi^2}, \quad R = \sqrt{r - \sqrt{2}\alpha(r + \Phi)} + \alpha$$

При  $\Psi \rightarrow \infty$  формулы (1.2) дадут для  $x$  и  $y$  следующие выражения:

$$\begin{aligned} x - \sigma &= \mp 1/2 \left( \sqrt{1 + 1/2} \sqrt{2} - \sqrt{1 - 1/2} \sqrt{2} \right) \Psi^{3/4} \\ y &= 1/2 \left( \sqrt{1 - 1/2} \sqrt{2} + \sqrt{1 + 1/2} \sqrt{2} \right) \Psi^{3/4} \end{aligned}$$

Таким образом, прямые  $y = \mp(1 + \sqrt{2})(x - \sigma)$ , подходящие к границе пучка под углом в  $67^\circ.5$ , являются асимптотами семейства эквипотенциальных кривых  $\Phi = \text{const}$ . Учитывая, что нулевому значению

параметра  $\Psi$  соответствует граница пучка  $y = 0$ , получим, что все электроды с потенциалом  $\Phi > \alpha$  подходят к ней под прямым углом, так как при малых  $\Psi$

$$x = \lambda + \mu \Psi^2, \quad y = v \Psi \\ (\lambda, \mu, v = \text{const})$$

При  $\Phi = \alpha$  и малых  $\Psi$  формулы (1.2) дают<sup>1</sup>

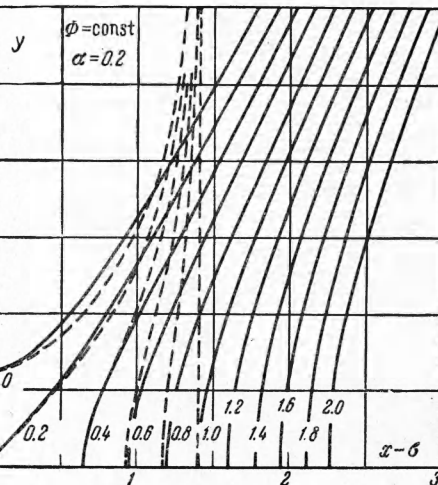
$$x - \sigma = \mp \sqrt[3]{\frac{1}{2} \alpha^{1/4} \Psi} \\ y = \sqrt[3]{\frac{1}{2} \alpha^{1/4} \Psi}$$

Следовательно, эквипотенциальные поверхности  $\Phi = \alpha$  составляют с границей пучка  $45^\circ$ . На фиг. 2 дана схема электрода с минимальным потенциалом  $\Phi = \alpha$ .

В силу симметрии потенциала  $\phi(x)$  относительно неособых точки  $x = \sigma$  в интервале  $0 \leq x \leq 2\sigma$  для электродов с потенциалом  $\Phi < \alpha$  имеем

$$\frac{dy}{dx} = 0 \quad \text{при } x = \sigma, \Phi < \alpha$$

Для случая, когда между электродами образуется виртуальный эмиттер ( $\alpha = 0$ ) и ток частично отражается [17], формирующие электроды по обе стороны от  $x = \sigma$  совпадают с определенными в [1].

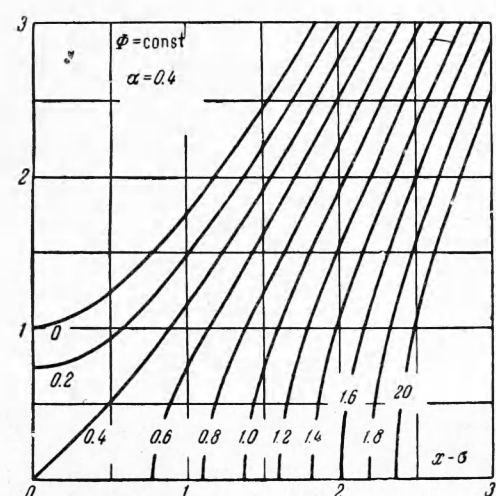


Фиг. 3

Точка  $x = \sigma$  является особой ( $d^n \phi / dx^n|_{x=\sigma} = \infty, n = 2, 3, \dots$ ) и при аналитическом продолжении потенциала порождает линию  $x = \sigma$ , на которой  $\Phi$  и  $\partial \Phi / \partial x$  теряют разрыв.

Кривые  $\Phi = \text{const}$  (сплошные кривые) для различных значений  $\alpha$  изображены на фиг. 3—6. Эквипотенциальные поверхности  $\alpha \leq \Phi \leq 1$  при  $0 \leq x \leq \sigma$  получаются отражением поверхностей  $\alpha \leq \Phi \leq 1$  при  $x \geq \sigma$  относительно оси  $y$ .

Итак, при ненулевой скорости и поле на эмиттере  $u_0, \epsilon_0 \neq 0$  [15] и эмиссии, ограниченной температурой  $u_0 = 0, \epsilon_0 \neq 0$  [13, 15], нулевая эквипотенциальная подходит к



Фиг. 4

границе пучка под прямым углом; при  $u_0 \neq 0, \epsilon_0 = 0$  (или в случае минимума потенциала) — под углом в  $45^\circ$ ; при  $u_0 = \epsilon_0 = 0$  — под углом в  $67^\circ.5$  [1]. Непрерывная зависимость угла наклона нулевой эквипотенциали от  $u_0, \epsilon_0$  отсутствует.

Можно показать, что углы в  $45^\circ$  и  $90^\circ$ , подобно [5] углу в  $67^\circ.5$ , будут характерными не только для плоского диода, но и при эмиссии с произ-

<sup>1</sup> При  $u_0 \neq 0, \epsilon_0 = 0$  (случай 2, рассмотренный в [15])  $x$  и  $y$  ведут себя при малых  $\Psi$  точно так же; поэтому кривая  $\Phi = 0$  (фиг. 6) подходит к границе пучка под углом в  $45^\circ$ , а не под прямым углом.

вольной поверхности. Дискретная зависимость угла наклона  $\hat{\vartheta}_0$  нулевой эквипотенциали от  $u_0$ ,  $\varepsilon_0$  сохраняется и при релятивистских скоростях вопреки утверждению [22] о непрерывном изменении  $\vartheta_0$  с изменением потенциала коллектора.

В работе [18] было дано приближенное решение рассмотренной задачи для случая, когда минимум потенциала приходится на середину межэлектродного промежутка. Оно основывалось на аппроксимации потенциала на границе пучка квадратной параболой, причем при  $\alpha > 0.71$  ошибка составляла не более 0.5%. Центральный электрод оказался плоскостью, подходящей к границе пучка под углом в  $45^\circ$ .

На фиг. 7 в координатах  $x - \sigma$ ,  $y$  построены кривые  $\Phi = \alpha$  для различных  $\alpha$ . Видно, что отличие точного решения от приближенного  $y_a = x - \sigma$  скоро становится заметным. Для сравнения этих решений при  $\alpha = 0.8$  приводим значения  $\delta = 1 - y_a/y$ , где  $y_a$  — приближенное, а  $y$  — точное значение ординаты формирующего электрода, вычисленные для некоторых значений  $x - \sigma$ .

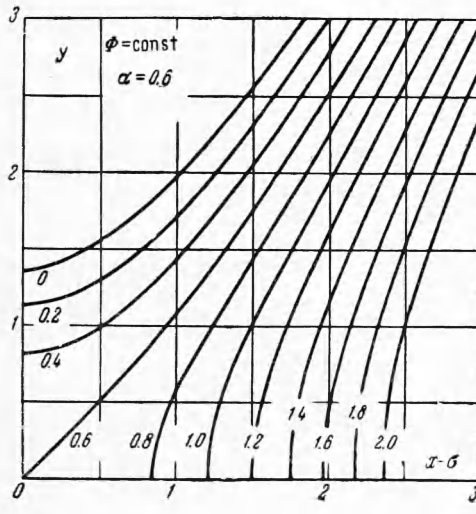
$x - \sigma =$	0.142	0.283	0.316	0.446	0.545	1.07	1.65	2.11
$\delta, \% =$	0.175	0.377	0.585	1.04	1.57	5.67	12.4	17.3

Центральный электрод  $\Phi = 0.8$  определен с той же точностью, что и потенциал на границе пучка, при  $x - \sigma < 0.3$ .

Как известно, задача Коши для уравнения Лапласа является некорректной: малое возмущение начальных условий на границе вызывает изменение решения, неограниченно нарастающее при удалении от нее [5, 23, 24]. Эта неустойчивость затрудняет численное интегрирование и отыскание решения при помощи разложения начальных условий в ряды или их приближенного задания [25—27]. В [25] рассмотрен случай, когда потенциал на границе  $\Phi = (1 + x^2)^{-1}$  аппроксимируется с ошибкой не более 1.5% полиномом десятой степени. Сравнение приближенного и точного решений задачи Коши обнаруживает чрезвычайно сильное различие между двумя семействами эквипотенциалей; точное решение имеет особую точку  $(0, 1)$ , которая, естественно, не сохраняется при указанной аппроксимации; в приближенном решении появляется точка ветвления, отсутствующая у точного решения. В [26] показано, что эквипотенциальные поверхности, определенные по трем и шести членам разложения, сильно отличаются друг от друга. В [28] был предложен численный метод решения задачи Пирса, в котором уравнение Лапласа записывалось в конечных разностях. В [27] вычисления [28] были повторены с большей точностью, причем оказалось, что решение сильно осциллирует: при стремлении шага к нулю численное решение не стремится к точному. В [29] оценивается скорость роста ошибки и предложены схемы счета, которые должны быть устойчивыми. В [30] указана еще одна причина, объясняющая, по крайней мере отчасти, результаты [27]: в [28] при решении используются старшие производные, в то время как значение потенциала и его нормальной производной на границе однозначно определяет решение во всей области. Конечноразностная схема интегрирования может быть успешно применена, если переходом в комплексную область уравнение Лапласа приводится к гиперболическому типу [31, 32].

Проведенное выше рассмотрение дает еще один пример неустойчивости решения для задачи, представляющей интерес с практической точки зрения.

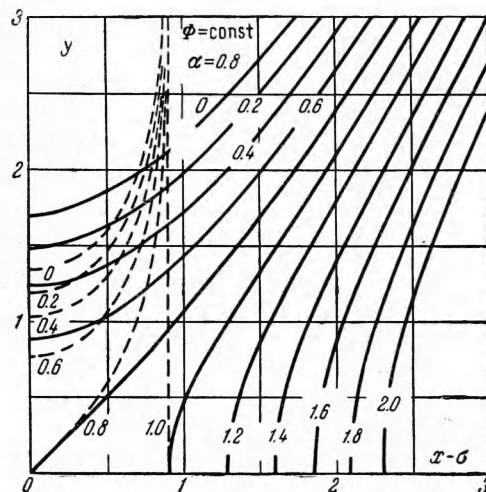
В ряде работ для отыскания решения используется разложение потенциала вблизи границы пучка в степенные ряды [26, 33—38]. Доказательство абсолютной сходимости этих рядов в силу нелинейности уравнений пучка не представляется возможным. Поэтому построить решение в заданной области с заданной точностью [5] также не удается. При получении решений указанным способом следует иметь в виду, что они мало отличаются от точного решения лишь в достаточной близости от границы пучка.



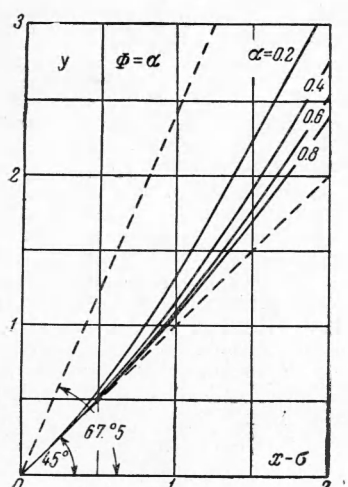
Фиг. 5

§ 2. Результаты предыдущего параграфа могут быть использованы для точного аналитического решения задачи о периодической фокусировке ленточного пучка [19–21]. Распределение потенциала в интервале  $2k\sigma \leq x \leq 2(k+1)\sigma$  ( $k = 0, 1, \dots$ ) задается формулами (1.1), причем  $\phi(0) = \phi(2\sigma) = 1$ , а  $\phi(\sigma) = a$  (фиг. 1). Разрыв  $d\phi/dx$  на концах каждого из интервалов требует наличия в пучке сеток, находящихся под потенциалом, равным 1. Частным случаем задачи § 1 будет определение электродов для одного из элементов периодической фокусирующей системы  $2k\sigma \leq x \leq 2(k+1)\sigma$ . Остается исследовать сопряжение двух таких элементов, так как решение в § 1 не было периодическим.

Аналогичная ситуация имеет место в задаче о фокусировке произвольного числа параллельных ленточных пучков. В работах [5, 39] показано, что в области между двумя пучками не может существовать решения  $\Phi = \Phi(x, y)$ , непрерывного вместе с первыми производными. При этом в [5] эта задача приведена в качестве примера невыполнения теоремы единственности для случая, когда условия Коши заданы на неаналитической границе. В [39] доказательство основано на том, что аналитическое продолжение потенциала, заданного на границе одного пучка, не обязано совпадать с продолжением потенциала с границы второго пучка,



Фиг. 6



Фиг. 7

$$q = -\frac{1}{2\pi} \left. \frac{\partial \Phi}{\partial y} \right|_{y=h} \quad (\lim_{x \rightarrow \infty} q(x) = 0)$$

(2h — расстояние между пучками)

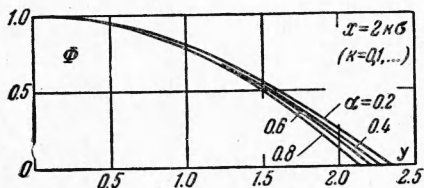
Точно так же решается вопрос о сопряжении элементов периодической фокусирующей системы. В [20] дано приближенное решение задачи о периодической фокусировке. В основе этого решения лежит аппроксимация потенциала на границе пучка выражением, которое в принятых в § 1 безразмерных переменных имеет вид

$$\varphi = 1 - (1 - \alpha) \cos(\pi x / 2\sigma) \quad (2.1)$$

Соответствующее приближенное решение уравнения Лапласа определяется так:

$$\Phi(x, y) = 1 - (1 - \alpha) \cos(\pi x / 2\sigma) \operatorname{ch}(\pi y / 2\sigma) \quad (2.2)$$

Ошибка при пользовании выражением (2.1) вместо точного решения (1.1) при  $\alpha = 0.25$  не превышает 3%. Представление потенциала формулой (2.1) обеспечивает периодический характер решения. Кривые  $\Phi(x, y) = \text{const}$ , определяемые формулой (2.2), изображены пунктиром на фиг. 3, 6 для  $\alpha = 0.2$  и  $\alpha = 0.8$ . Видно, что электроды с потенциалом  $\Phi = 1$  являются плоскостями  $x = 2\sigma$ .



Фиг. 8

В соответствии со сказанным выше, при точном решении плоскость  $x = 2\sigma$  должна быть не эквипотенциальной поверхностью, а заряженной плоскостью. Закон изменения потенциала на ней определяется выражениями

$$\begin{aligned} \sigma &= 2^{-1/2} [(\sqrt{1/2(r+\Phi)} + 2\alpha^{1/2}) \sqrt{R + \sqrt{1/2(r+\Phi)} - \alpha^{1/2}} - \\ &\quad - \sqrt{1/2(r-\Phi)} \sqrt{R - \sqrt{1/2(r+\Phi)} + \alpha^{1/2}}] \quad (2.3) \\ y &= 2^{-1/2} [(\sqrt{1/2(r+\Phi)} + 2\alpha^{1/2}) \sqrt{R - \sqrt{1/2(r+\Phi)} + \alpha^{1/2}} + \\ &\quad + \sqrt{1/2(r-\Phi)} \sqrt{R + \sqrt{1/2(r+\Phi)} - \alpha^{1/2}}] \end{aligned}$$

Кривые  $\Phi(y)$ , задаваемые формулами (2.3), для разных значений  $\alpha$  представлены на фиг. 8. Плотность поверхности заряда плоскости  $x = 2\sigma$

$$q = -\frac{1}{2\pi} \frac{\partial \Phi}{\partial x} \Big|_{x=2\sigma} \quad (\lim_{y \rightarrow \infty} q(y) = 0)$$

где  $\Phi$  определяется выражениями (1.2).

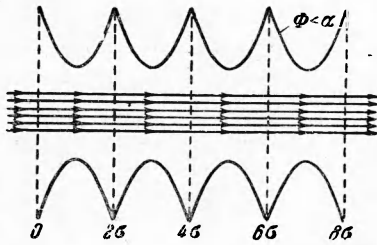
Результаты, представленные на фиг. 3, 6, позволяют сравнить точное и приближенное решения. Видно, что различие между ними увеличивается по мере приближения  $\Phi$  к единице. Здесь действует искусственно введенная в [20] периодичность приближенного решения. На фиг. 9 изображена одна из возможных схем периодической фокусировки. В качестве низковольтных электродов используются поверхности  $\Phi = \text{const} < \alpha$ . Плоскости  $x = 2k\sigma$  с переменным потенциалом, осуществляющие экранировку одного элемента системы от другого, могут быть выполнены в виде достаточно густой сетки, потенциал на которой меняется в соответствии с выражением (2.3).

Приближенное решение [18] также может быть использовано при построении периодической фокусирующей системы, что и было сделано в работе [21]. При этом высоковольтный электрод имеет вид двояковыпуклой линзы, причем относительно ее толщины не дается каких-либо рекомендаций. Ясно, что такие электроды будут вносить значительные возмущения не только вдали от пучка, но и на самой его границе. По-видимому, точное решение для периодической фокусировки цилиндрического пучка, которое может быть построено на основании результатов [5, 7], также будет значительно отличаться от приближенного решения [20]. При этом плоскости  $x = 2k\sigma$ , как и выше, не будут эквипотенциальными поверхностями.

Поступила 13 V 1964

#### ЛИТЕРАТУРА

1. Pierce J. R. Rectilinear Electron Flow in Beams. *J. Appl. Phys.*, 1940, vol. 11.
2. Lomax R. J. Exact Electrode Systems for the Formation of a Curved Space-Charge Beam. *J. Electr. Contr.*, 1957, vol. 3, No. 4.
3. Lomax R. J. Exact Electrode Systems for the Formation of a Curved Space-Charge Beam. *J. Electr. Contr.*, 1959, vol. 7, No. 6.
4. Kirstein P. T. On the Determination of the Electrodes Required to Produce a Given Electric Field Distribution Along a Prescribed Curve. *Proc. IRE*, 1958, vol. 46.
5. Radley D. E. The Theory of the Pierce Type Electron Gun. *J. Electr. Contr.*, 1958, vol. 4, No. 2.
6. Radley D. E. Electrodes for Convergent Pierce-Type Guns. *J. Electr. Contr.*, 1963, vol. 15, No. 5.



Фиг. 9

7. Harker K. J. Solution of the Cauchy Problem for Laplace's Equation in Axially Symmetric Systems. *J. Math. Phys.*, 1963, vol. 4, No. 7.
8. Kino G. S. A Design Method for Crossed-Field Electron Guns. *IRE Trans. Electr. Dev.*, 1960, vol. ED — 7, No. 3.
9. Kino G. S., Taylor N. J. The Design and Performance of a Magnetron Injection Gun. *IRE Trans. Electr. Dev.*, 1962, vol. ED — 9, No. 4.
10. Rosenblatt J. Three-Dimensional Space-Charge Flow. *J. Appl. Phys.*, 1960, vol. 31, No. 8.
11. Keent G. Generalized Brillouin Flow. *Communication and Electronics*, 1960, vol. 79, No. 48.
12. Pöschl K., Veith W. Generalized Brillouin Flow. *J. Appl. Phys.*, 1962, vol. 33, No. 3.
13. Sugata E., Terada M., Hamada H., Pack H. Analytical Design of Electron Gun with Temperature-Limited Cathode. *Technology Rep. Osaka Univ.*, 1962, vol. 12, No. 495.
14. Сыровой В. А. Инвариантно-групповые решения уравнений плоского стационарного пучка заряженных частиц. ПМТФ, 1962, № 4.
15. Сыровой В. А. Решение задачи Пирса для ленточного пучка при произвольных условиях эмиссии. ПМТФ, 1964, № 2.
16. Сыровой В. А. Инвариантно-групповые решения уравнений нестационарного пучка заряженных частиц. ПМТФ, 1964, № 1.
17. Fay C. E., Samuel A. L., Shockley W. On the Theory of Space Charge Between Parallel Plane Electrodes. *Bell System Techn. J.*, 1938, vol. 17, No. 1.
18. Молоковский С. И. Аналитический расчет геометрии электродов для электростатической фокусировки ленточного пучка. *Радиотехн. и электрон.*, 1962, т. 7, № 6.
19. Siekanowicz W. W., Vaccaro F. E. Periodic Electrostatic Focusing of Laminar Parallel-Flow Electron Beams. *Proc. IRE*, 1959, vol. 47, No. 3.
20. Siekanowicz W. W. Derivation of Ideal Electrode Shapes for Electrostatic Beam Focusing. *RCA Rev.*, 1962, vol. 23, No. 1.
21. Molokovsky S. I. Electrostatic Focusing Systems for Intense Electron Beams. *J. Instn Telecommunic. Engrs*, 1963, vol. 9, No. 4.
22. Игнатенко Б. П. Формирование релятивистского ленточного пучка заряженных частиц. *Радиотехн. и электрон.*, 1963, т. 8, № 1.
23. Hadamar J. Lectures on Cauchy's Problem in Linear Partial Differential Equations. Dover Publication, New York, 1952.
24. Петровский И. Г. Лекции об уравнениях с частными производными. Физматгиз, 1961.
25. Berg F. Note on the Potential Derived from Axial Values in Electron Optics. *Philos. Mag.*, 1950, vol. 41, No. 314.
26. Hectel R. Zur Bestimmung der Elektrodenformen von Elektronenkanonen nach Pierce. *Telefunken Zeitung*, 1955, B 28, H 110.
27. Brewe G. R. Note on the Determination of Electrode Shapes for a Pierce-Type Electron Gun. *J. Appl. Phys.*, 1957, vol. 28, No. 5.
28. Ho Chou, Moon R. J. Electrostatic Potential Plotting for Use in Electron Optical Systems. *J. Appl. Phys.*, 1953, vol. 24, No. 9.
29. Meltz B. The Stability of Computation of the Pierce-Cauchy Problem. *J. Electr. Contr.*, 1960, vol. 8, No. 6.
30. Melz B., Dunnis A. R. A Note on Pierce Electrode Design. *J. Electr. Contr.*, 1958, vol. 4, No. 5.
31. Harker K. J. Determination of Electrode Shapes for Axially Symmetric Electron Guns. *J. Appl. Phys.*, 1960, vol. 31, No. 12.
32. Harker K. J. Electrode Design for Axially Symmetric Electron Guns. *J. Appl. Phys.*, 1962, vol. 33, No. 5.
33. Harrison E. R. Approximate Electrode Shapes for Cylindrical Electron Beam. *Brit. J. Appl. Phys.*, 1954, vol. 5, No. 4.
34. Daykin P. N. Electrode Shapes for Cylindrical Electron Beam. *Brit. J. Appl. Phys.*, 1955, vol. 6, No. 7.
35. Sugai I. Numerical Analysis for Design of Electron Guns with Curved Electron Trajectories. *Proc. IRE*, 1959, vol. 47, No. 1.
36. Hectel J. R. Electrostatic Focusing of Microwave Tubes. *Microwave J.*, 1960, vol. 3, No. 12.
37. Игнатенко Б. П. Получение сходящихся ленточных пучков заряженных частиц с большой плотностью тока. *Ж. техн. физ.*, 1962, т. 31, № 1.
38. Zeppe G. Production de faisceaux électroniques denses en régime relativiste. *C. R. Acad. Sci.*, 1963, tome 256, No. 16.
39. Kirstein P. T. Comment on a Paper of D. E. Radley, «The Theory of the Pierce Type Electron Gun». *J. Electr. Contr.*, 1958, vol. 5, No. 2.